地震波特性が桁-橋台間衝突に及ぼす影響検討

九州工業大学 学生会員 〇坂本 裕史 九州工業大学 正会員 幸左 賢二 大日本コンサルタント株式会社 清水 英樹 NEXCO 中央研究所 非会員 今村 壮宏 正会員

1. はじめに

地震時においては、桁と橋台間に十分な遊間を確保する設計法が 一般である. 一方, 橋台において桁衝突力を許容する十分な耐力を 確保し、主桁の水平変位を橋台により拘束することで橋脚の変形を 低減する(橋台変位拘束)方法も提案されている. 既往の研究におい て桁衝突に関する研究は数多く実施されているが、地震波が桁衝突 現象に与える影響は、現在まで十分には明らかにされていない. そ こで、本研究では、図-1 に示す研究フローに従い、地震波加速度 の差異が衝突力に及ぼす影響力を評価した.

2. 解析概要

図-2の解析モデルに示すように橋梁全体系の2次元フレー ムモデルを用いて, 弾塑性時刻歴応答解析を行った. なお, パラペット部のせん断破壊バネ剛性は、既往の局所集中荷重 を受ける鉄筋コンクリート部材の押抜きせん断実験結果を参 考に, 遊間量を考慮して, K=39.8MN/mm とした.

表-1 に解析ケースを示す. 入力地震波は、地震波の差異が桁 衝突力に与える影響の分析を行うため、Case1 は本橋近傍で観測 された JMA 川口町川口 EW 波のうち主要動部分の 20 秒間を抜き 出したものであり、Case2~Case10 は道路橋示方書V編に示され ているレベル2地震動とした.

図-3 に衝突力発生メカニズムを示す. 筆者らは衝突現象に着 目した検討を行い、衝突力(F)は主桁の速度 (V_1) の関数で表され、 その主桁速度(V_1)は地震波により発生した主桁の加速度($\Sigma \alpha_1 \Delta$ t)の関数で表されるということを明らかにしている. しかし, 地 震波加速度(α_2)と主桁加速度(α_1)の関係性は明確でないので、十 分には検証されていない. そこで、桁衝突力と主桁に生じる応答 加速度、地震波加速度の関係を検証するため、ここでは、衝突に 伴う反発速度の影響のない最初の桁衝突に着目し、衝突力と桁加 速度および地震波加速度の関係性を把握する.

3. 解析結果

衝突現象は主桁に発生した加速度の積み重ね $(\Sigma \alpha, \Delta t)$ によっ て速度が変化し主桁の変位が大きくなることで、発生することか ら、衝突力と加速度の累積についての関係性を検証する。図-4 に各ケースの最初の衝突力と累積加速度を示す. 正の値が P3 橋 脚への衝突, 負の値が A1 橋台側の衝突を表している. 最初の衝

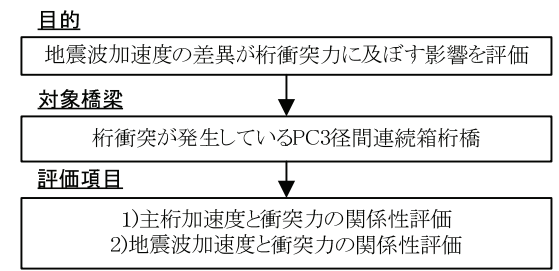


図-1 研究フロー

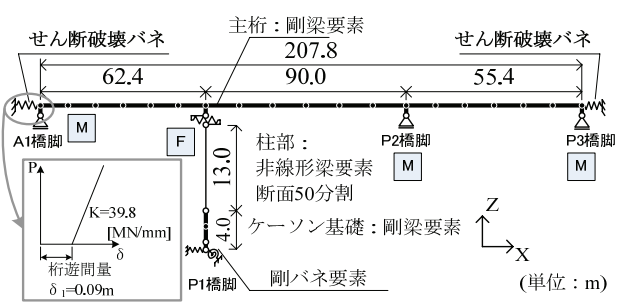


図-2 解析フレームモデル

表-1 解析ケース

Case No.	入力地震波	地震波種別
Case1	JMA川口 EW波形	本橋近傍で観測された実測波
Case2~4	II - I -1 II - I -2 II - I -3	道示波形 レベル2,タイプⅡ,Ⅰ種地盤
Case5~7	II - II -1 II - II -2 II - II -3	道示波形 レベル2,タイプⅡ,Ⅱ種地盤
Case8~10	I - I -1 I - I -2 I - I -3	道示波形 レベル2,タイプI, I種地盤

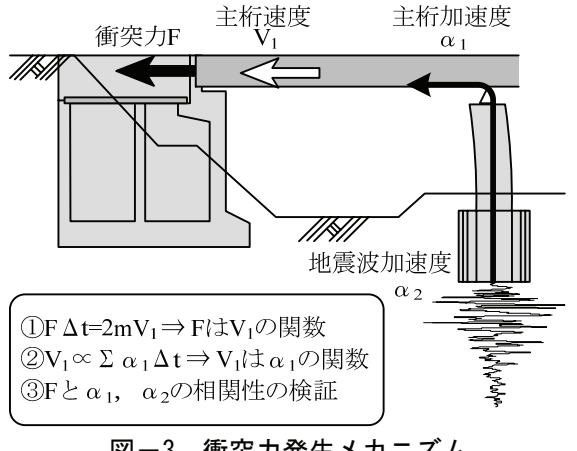


図-3 衝突力発生メカニズム

キーワード 橋台抵抗,動的解析,地震波特性

〒804-8550 福岡県北九州市戸畑区仙水町 1-1 九州工業大学 建設社会工学科 TEL093-884-3123 連絡先

突力に着目すると, 衝突力と衝突が発生するまでの累積加速 度には相関性が見られ、衝突力は累積加速度が大きくなるほ ど大きくなる傾向が見られる.

次に、全てのケースの最初の衝突力と地震波の累積加速度 関係を $\mathbf{Z}-\mathbf{Z}$ に示す. なお, 本図は $\mathbf{Z}-\mathbf{Z}$ の主桁との比較を 行なうために地震波方向を反転させている. 1回目の衝突に 着目したところ, 地震波の累積加速度とその時刻に発生した 加速度には、相関性があり、地震波の累積加速度が大きくな るほど、衝突力は大きくなる傾向が見られた.しかし、図ー 5 と図-4 を比較すると、主桁に生じる加速度の変動係数は 20%であるのに対し、地震波の場合では56%と、変動係数が 大きくなった.

ここでは, 地震波累積加速度と衝突力の相関性が高い Case3 に特に着目して以下の分析を行った.

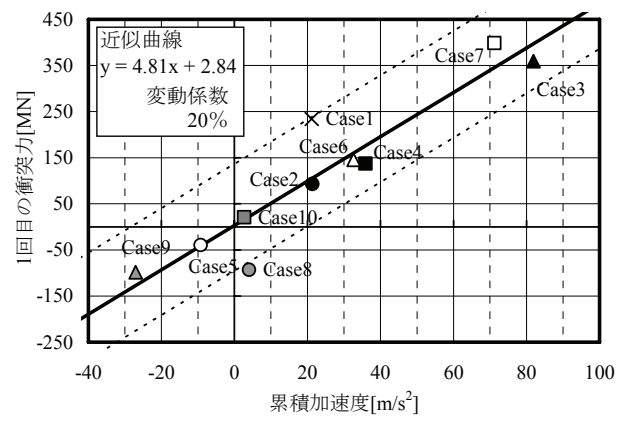
図-6に主桁の応答変位図を示す. 本図は1回目の桁衝突 が発生するまでの主桁の変位に着目している.図-6より、 4.91 秒時に初めて-3.3 δ_{v0} (主桁変位-0.086m) の大きな変位 が発生し、P1 橋脚が塑性域に達しているが、0.28 秒後の 5.19 秒時に衝突が発生している.

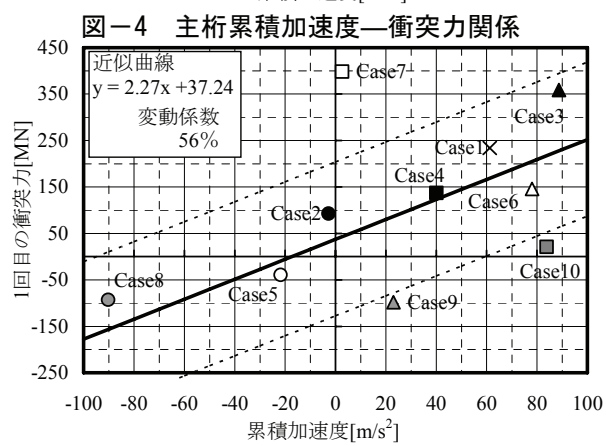
図-7 に図-6 の主桁の応答変位として-3.3 δ_{v0} が発生して いる衝突直前の P1 橋脚の変形図を示す. 本図は主桁の応答 変位に関して、衝突直前の1周期の波の変位の極大値発生時 (図-6 中の[1]地点),変位 0.0m 時(図-6 中の[2]地点),極小 発生時(図-6中の[3]地点)に着目して P1 橋脚の変形, 地震波 および主桁の加速度の関係を示す. 各時刻の P1 橋脚基部の 塑性率に着目すると、図-7(a)中[3]地点の 4.91 秒時におい て 8.13(図-7(b))の大きな塑性率が発生している. また, そ の後の衝突直前である図-7(a)の区間[4]の 0.28 秒間におい て,地震波と主桁に生じる加速度の差異は僅かであり,加速 度として 2.42m/s^2 程度の差異が生じた.

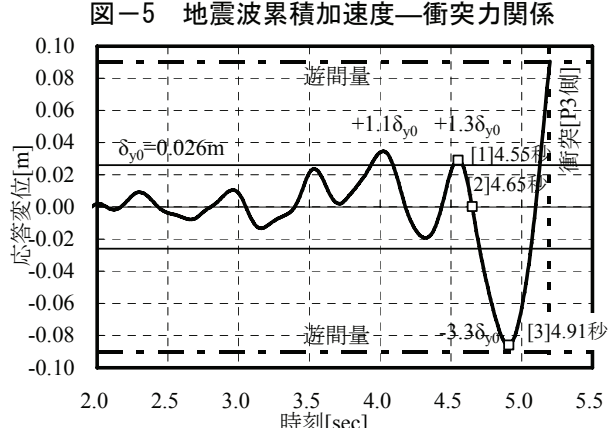
以上のことから、主桁変位が 3δν 程度の大きな変形が発 生する時刻が衝突直前であり, 主桁加速度と地震波加速度の 差異が小さくなるため、地震波加速度と衝突力の相関性が高 くなったと考えられる.

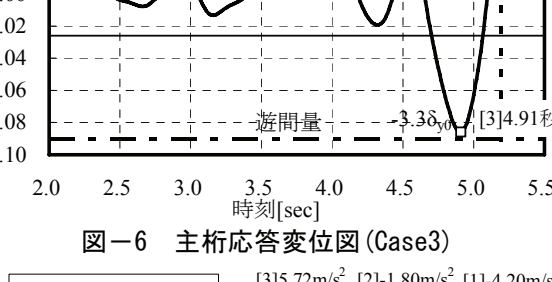
4. まとめ

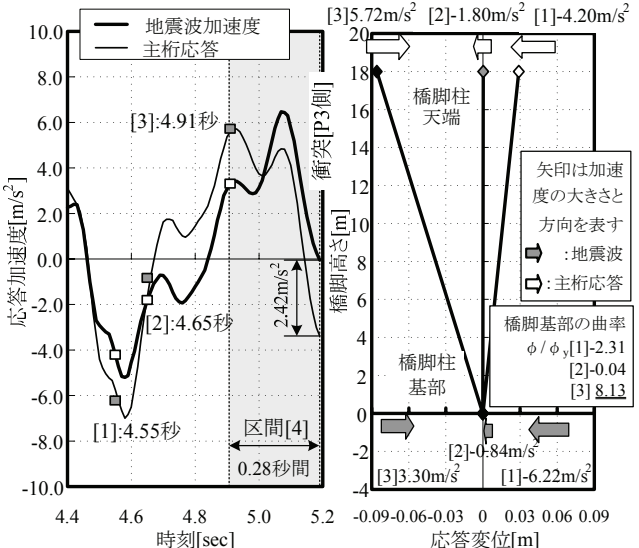
- 1) 衝突するまでの主桁加速度の累積値と衝突力は、相関性が 高いことを明らかとなった。また、衝突するまでの地震波 加速度の累積値と衝突力にも、やや相関性が見られた.
- 2) 地震波加速度の累積値と衝突力の相関性が高いのは、主桁 変位が降伏変位を大きく超える時刻が衝突直前であり, 主 桁加速度と地震波加速度の差異が小さいためと考えられ る.











(a) 時刻歷応答加速度図 (b) P1 橋脚変形図

図-7 Case3 の P1 橋脚変形図(衝突直前)